

Ферромагнитное воздействие δ - $\langle\text{Mn}\rangle$ -слоя в GaAs барьере на спиновую поляризацию носителей в InGaAs/GaAs квантовой яме

C. В. Зайцев¹⁾, М. В. Дорохин, А. С. Бричкин, О. В. Вихрова*, Ю. А. Данилов*, Б. Н. Звонков*,
В. Д. Кулаковский*

Институт физики твердого тела РАН, 142432 Черноголовка, Московская обл., Россия

**Научно-исследовательский физико-технический институт Нижегородского университета, Нижний Новгород, Россия*

Поступила в редакцию 24 сентября 2009 г.

Поляризационные свойства излучения нелегированной InGaAs квантовой ямы (КЯ) в InGaAs/GaAs гетероструктурах с δ - $\langle\text{Mn}\rangle$ -слоем в GaAs барьере исследованы в широком диапазоне температур и магнитных полей. Найдено, что $s, p-d$ обменное взаимодействие носителей в КЯ с ионами Mn в δ -слое ведет к ферромагнитному поведению как их зеемановского расщепления, так и спиновой поляризации (с температурой Кюри, характерной для δ - $\langle\text{Mn}\rangle$ -слоя в GaAs барьере). В области низких температур ($T < 20$ К) обнаружено насыщение поляризации спинов дырок, которое связано с их фермиевским вырождением.

PACS: 75.30.Hx, 78.20.Ls, 78.55.Cr

Обнаружение ферромагнетизма в GaAs, легированном Mn, открыло новые возможности для создания приборов полупроводниковой спINTRоники [1, 2]. Можно считать доказанным, что взаимное влияние магнитных ионов и свободных носителей приводит к кардинальным изменениям в спиновой поляризации дырок в (Ga,Mn)As [3–6]. Магнитное поведение дырочной подсистемы зависит от реализованного в GaAs состояния Mn: случайно распределенные нейтральные акцепторы, примесная зона или сильно вырожденный дырочный газ. Квантовое ограничение дырочной системы, вопреки ожиданиям, не приводит к существенному изменению поведения намагниченности в (Ga,Mn)As слоях [7]. Магнитные эффекты даже в узкой квантовой яме (КЯ), как и в объемных полупроводниках, обусловлены случайными механическими напряжениями и (или) электрическим полем [8]. Последнее, в частности, объясняет направление оси легкого намагничивания в плоскости КЯ [7], а не в направлении роста, как следовало ожидать в рамках модели Рудемана-Киттеля-Касуи-Йосиды (РККИ).

Использование δ -легирования атомами Mn в структурах GaAs/p-AlGaAs [9] или InGaAs/GaAs [10] позволяет пространственно разделить носители заряда в КЯ и ионы Mn в GaAs, что открывает возможность контролировать магнитные свойства и спиновую поляризацию носителей в КЯ путем вариации толщины спейсерного слоя GaAs между δ - $\langle\text{Mn}\rangle$ -слоем и КЯ. Влияние δ - $\langle\text{Mn}\rangle$ -слоя в барьере

на спиновую поляризацию дырок в GaAs/AlGaAs КЯ было обнаружено в [11] при исследовании циркулярной поляризации излучения в малых магнитных полях при $T = 5$ К. С одной стороны, это позволяет исследовать механизм взаимодействия ионов Mn и носителей в КЯ, а с другой – такой контроль является важным для использования магнитных гетероструктур в спINTRонике.

В настоящей работе исследована циркулярная поляризация фотолюминесценции нелегированных InGaAs КЯ в InGaAs/GaAs гетероструктурах с δ - $\langle\text{Mn}\rangle$ -слоем в GaAs барьере, расположенным на расстоянии 3–5 нм от КЯ, в магнитных полях $B = 0$ –5 Тл и в области температур $T = 2$ –100 К. Найдено, что встроенный δ - $\langle\text{Mn}\rangle$ -слой приводит к сильному увеличению циркулярной поляризации (ρ_c) излучения из КЯ и величины его зеемановского расщепления (ΔE) уже в очень малых полях $B \sim 0.2$ Тл. Величины ΔE , и ρ_c слабо зависят от температуры вплоть до температур $T \sim 20$ К, близких к температуре Кюри ферромагнитного δ - $\langle\text{Mn}\rangle$ -слоя в GaAs барьере, $T_C \sim 30$ К. Наблюдаемое “ферромагнитное” поведение носителей заряда в КЯ связывается с влиянием их обменного $s, p-d$ взаимодействия с ионами Mn в близко расположенному δ - $\langle\text{Mn}\rangle$ -слое.

InGaAs/GaAs гетероструктуры были выращены с помощью метода трехступенчатого эпитаксиального роста. Буферный слой GaAs (толщиной 0.5 мкм, легированный Si до концентрации $n \sim 10^{17}$ см $^{-3}$), δ - $\langle\text{C}\rangle$ -легированный слой (кроме образца В) и 3–10-нанометровый слой нелегированного GaAs были

¹⁾ e-mail: szaitsev@issp.ac.ru

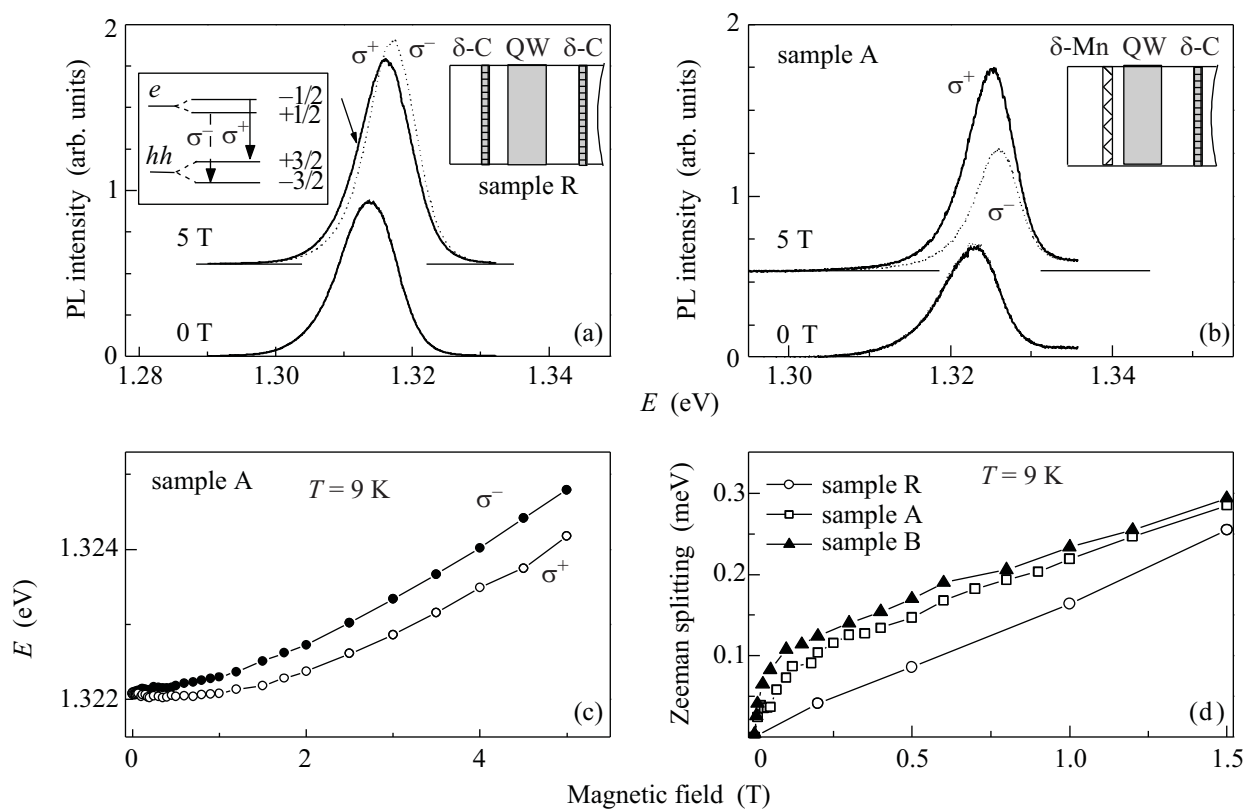


Рис.1. Спектры излучения из GaAs/InGaAs КЯ в образце R без (а) и в образце A с δ - $<\text{Mn}>$ -слоем (б) в GaAs барьере при $B = 0$ и 5 Тл и $T = 9$ К. Зависимости энергий σ^+ и σ^- -переходов в InGaAs КЯ в образце A с δ - $<\text{Mn}>$ -слоем (с) и зеемановских расщеплений в образцах без и с δ - $<\text{Mn}>$ -слоем (д) от магнитного поля. Энергии переходов определены как первый момент интенсивности линий излучения. Схема переходов в магнитном поле показана на вставке к рис.1а

последовательно выращены при температуре 650 °С на подложках GaAs (001) методом металлогорганической гидридной эпитаксии при атмосферном давлении. Затем при 550 °С были выращены нелегированные In_xGa_{1-x}As КЯ ($x = 0.1\text{--}0.2$; ширина $d_{QW} = 10$ нм) и тонкий ($d_s = 3\text{--}5$ нм) спейсерный слой GaAs. На следующей стадии δ - $<\text{Mn}>$ -легированный слой и покровный слой GaAs были выращены в том же реакторе при температуре 400 °С посредством лазерного распыления Mn и GaAs мишней, соответственно. Снижение температуры до 400 °С позволило уменьшить диффузию Mn во время выращивания образцов. В результате ширина распределения Mn не превысила 2 нм. Номинальные плотности примесей Mn и C в δ -слоях составили $\approx 2 \cdot 10^{14}$ см⁻² и $(2\text{--}3) \cdot 10^{12}$ см⁻², соответственно. Схематические изображения исследованных структур показаны на рис.1а, б. Детали технологии изготовления описаны ранее в [12]. Немагнитный контрольный образец (R) содержит δ - $<\text{C}>$ -легированный слой вмес-

то δ - $<\text{Mn}>$ слоя. Магнитотранспортные измерения подобных структур, выращенных на подложке полуизолирующего GaAs, показали ферромагнитное поведение δ - $<\text{Mn}>$ -легированных слоев с температурой Кюри $T_C \sim 25\text{--}35$ К [10, 13].

Спектры циркулярно-поляризованной фотолюминесценции измерялись в области $T = 2\text{--}100$ К при возбуждении образца непрерывным Не-Не-лазером. Образец помещался в криостат со сверхпроводящим соленоидом. Магнитное поле $B = 0\text{--}5$ Тл прикладывалось перпендикулярно плоскости КЯ (ось z) (геометрия Фарадея).

На рис.1 приведены спектры излучения In_xGa_{1-x}As КЯ гетероструктур ($x \approx 0.18$) без и с δ - $<\text{Mn}>$ -слоем в GaAs барьере. Линия излучения в области 1.3 эВ связана с электрон-дырочной ($e-h$) рекомбинацией в КЯ. Линия излучения КЯ в этих структурах имеет примерно одинаковую ширину на полуысоте. В структурах с δ - $<\text{Mn}>$ -слоем интенсивность излучения КЯ на два порядка

ниже из-за сильной безызлучательной рекомбинации на дефектах, таких как междоузельные атомы Mn (Mn_I) или атомы As в позициях Ga (As_{Ga}) в покровном слое GaAs, выращенном при пониженной температуре [14].

В поле $B \parallel z$ полоса излучения из КЯ сдвигается в фиолетовую сторону. При этом она расщепляется на две циркулярно (σ^+ и σ^-) поляризованные компоненты вследствие зеемановского расщепления состояний электронов и дырок в КЯ. Схема переходов показана на вставке к рис.1а. На рис.1с приведены энергии E^+ и E^- компонент σ^+ и σ^- , соответственно, для образца А при $T = 9$ К. Квадратичная зависимость $(E^+ + E^-)/2$ от B в области малых полей связана с локализацией рекомбинирующих носителей на флуктуациях потенциала в КЯ. Зеемановское расщепление $\Delta E = E^- - E^+$ в образцах с $\delta\text{-}\langle Mn \rangle$ -слоем быстро растет в полях $B < 0.5$ Тл, а затем его рост сильно замедляется и примерно совпадает с изменением ΔE в образце R без Mn (рис.1д). Такое поведение ΔE характерно для полумагнитных полупроводников с большим вкладом в энергию электронов и дырок от $s, p-d$ -обменного взаимодействия с ионами Mn, ΔE_M из-за выстраивания спинов ионов Mn вдоль магнитного поля. Действительно, на рис.2а отчетливо видно исчезновение вклада ΔE_M при повышенных температурах: при $T > 40$ К зависимость $\Delta E(B)$ трансформируется в линейную, характерную для немагнитных КЯ. Заметим также, что разность $\Delta E(B, 8\text{ K}) - \Delta E(B, 40\text{ K})$ приблизительно постоянна во всем диапазоне полей выше 0.4 Тл.

На рис.2б представлены зависимости от магнитного поля для степени циркулярной поляризации линий КЯ $\rho_c = (I^+ - I^-)/(I^+ + I^-)$ в образце В в области $T = 9\text{--}60$ К. Здесь $I^{+(-)}$ – интенсивности излучения из КЯ в $\sigma^+(\sigma^-)$ поляризациях. Видно, что их поведение аналогично поведению зеемановского расщепления излучения КЯ.

В немагнитных КЯ зеемановское расщепление $e-h$ -переходов $\Delta E = (3g_h - g_e)\mu_B B$. Здесь μ_B – магнетон Бора, g_e и g_h – g -факторы электронов ($s_z = \pm 1/2$) и тяжелых дырок ($j_z = \pm 3/2$), соответственно. В $In_x Ga_{1-x} As/GaAs$ КЯ с $x = 0.1\text{--}0.2$ и толщиной $d = 10$ нм значения $g_e = -(2\text{--}3)$ [15, 16], а g_h сильно зависит от дырочной локализации [17]. В немагнитном образце R энергия $E^+ < E^-$ (рис.1). Следовательно, $g_h < 0$ и $|3g_h| > |g_e|$. Столь большое значение $|g_h|$ свидетельствует о сильной локализации дырок в КЯ, что хорошо согласуется с большой полушириной линии излучения (~ 8 мэВ, рис.1) и малым диамагнитным сдвигом линии в магнитном поле (сдвиг не превышает 2 мэВ в поле 5 Тл, рис.1с).

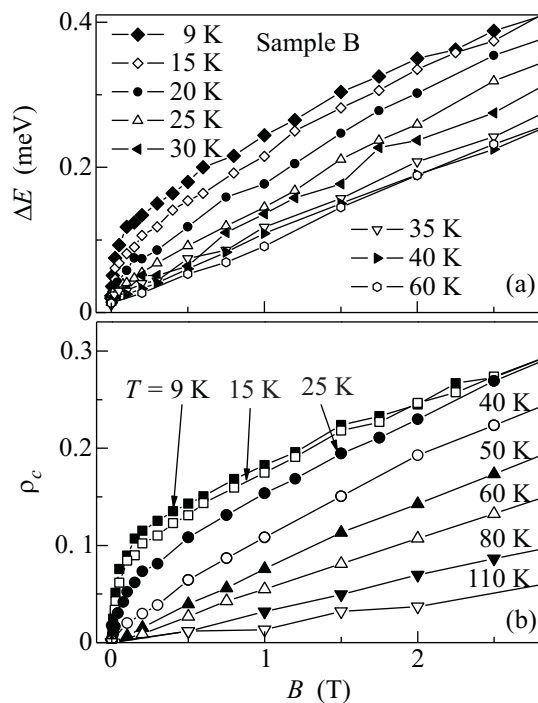


Рис.2. Зависимости зеемановского расщепления ΔE (а) и степени циркулярной поляризации ρ_c (б) от магнитного поля в GaAs/InGaAs КЯ образце В с $\delta\text{-}\langle Mn \rangle$ -слоем в GaAs барьере при различных температурах

Эффект $s, p-d$ обменного взаимодействия описывается гамильтонианами [18]

$$H_{exch}^e = \alpha \sum \int s S_n |\psi_e(\mathbf{r})|^2 \delta(\mathbf{r} - \mathbf{R}_n) d^3 r, \quad (1)$$

$$H_{exch}^h = \alpha \sum \int j S_n |\psi_h(\mathbf{r})|^2 \delta(\mathbf{r} - \mathbf{R}_n) d^3 r, \quad (2)$$

где S_n – спиновый оператор иона Mn в позиции \mathbf{R}_n , α , ψ_e , \mathbf{r}_e и β , ψ_h , \mathbf{r}_h – обменные интегралы, волновые функции и координаты для электронов (e) и дырок (h), соответственно. Суммирование в формулах (1), (2) идет по всем позициям \mathbf{R}_n ионов Mn. В парамагнитной фазе средний спин ионов Mn $\langle \mathbf{S}(B=0) \rangle = 0$. В магнитном поле $\langle \mathbf{S} \rangle$ выстраивается параллельно полю и описывается модифицированной функцией Бриллюэна:

$$\langle \mathbf{S} \rangle = S_{\text{eff}} B r_{5/2} \left(\frac{5\mu_B g_{Mn} B}{2kT_{\text{eff}}} \right) \frac{\mathbf{B}}{B}, \quad (3)$$

что ведет к макроскопической намагниченности $\mathbf{M} = -x_{Mn} \mu_B g_{Mn} \langle \mathbf{S} \rangle$. Здесь $g_{Mn} = 2$ – g -фактор d -электронов в Mn^{2+} . Поправки в эффективные спин Mn, $S_{\text{eff}} < S_{Mn} = 5/2$ и температуру, $T_{\text{eff}} = T + T_0$, связаны с вкладом от антиферромагнитного взаимодействия спинов соседних ионов Mn, x_{Mn} – число

катионов Mn в единичном объеме. Влияние \mathbf{M} на электроны и дырки аналогично влиянию магнитного поля и может быть учтено в гамильтониане следующим образом:

$$H_{\text{exch}}^e = \alpha \nu_e(\mathbf{s}, \mathbf{M}) / (\mu_B g_M n), \quad (4)$$

$$H_{\text{exch}}^h = \beta \nu_h(\mathbf{j}, \mathbf{M}) / (3\mu_B g_M n), \quad (5)$$

где $\alpha(\beta) - s - d$ ($p - d$) – обменные константы, а коэффициенты $\nu_e(\nu_h)$ – доли электронной (дырочной) волновых функций в области магнитных ионов [18].

Из выражения (3) следует, что $\mathbf{M} \sim \mathbf{B}$ в малых полях и насыщается в области $B > B_{\text{sat}} = kT / \mu_B g_M n S$. Из рис.1d видно, что насыщение магнитного вклада в ΔE и ρ_c наблюдается уже при $B \sim 0.2$ Тл, в то время как оценка B_{sat} дает значение выше 2 Тл. Таким образом, поведение ΔE и ρ_c нельзя связать с влиянием обменного взаимодействия электронов и дырок в КЯ с парамагнитными ионами Mn, продиффундировавшими в КЯ во время роста структуры. Его следует приписать влиянию ферромагнитного δ - $\langle\text{Mn}\rangle$ слоя, находящегося на расстоянии 3–5 нм от КЯ. Спонтанная намагниченность этого слоя $M_s(T)$ в нулевом поле лежит в плоскости КЯ и поэтому не приводит к спиновой поляризации тяжелых дырок с $j = 3/2$ [1, 7, 8]. Намагниченность M_z слоя Mn в направлении z растет с полем как $M_z(B, T) = M_s^2(T)B/2K$ (где K – соответствующий коэффициент анизотропии) и в GaAs:Mn выходит на насыщение уже при $B \sim 0.2$ –0.3 Тл [19], что хорошо согласуется с нашим экспериментом.

Связь ΔE_M с обменным взаимодействием носителей в КЯ с ионами Mn в ферромагнитном δ -слое в GaAs барьере подтверждается наблюдаемой температурной зависимостью $\Delta E(T)$ при фиксированном B , приведенной на рис.3б для $B = 0.3$ и 3 Тл. $\Delta E(T)$ слабо изменяется при $T < 20$ К, а затем быстро уменьшается и выходит на постоянное значение при $T > 40$ К, отвечающее зеемановскому расщеплению в InGaAs КЯ в структурах без Mn. Такая зависимость совершенно не описывается кривой, рассчитанной для парамагнитной фазы Mn с нормировкой на экспериментальные значения ΔE (2 К) (штриховые кривые на рис.3б). Напротив, экспериментальные зависимости $\Delta E(T)$ хорошо описываются, если учесть взаимодействие носителей в КЯ с ионами Mn в ферромагнитном слое. В этом случае $\Delta E_M \sim M_z(B, T) = M_s^2(T)B/2K$ при $T < T_C$. Из аппроксимации, показанной сплошными линиями на рис.3б, выполненной с использованием приближения среднего поля для $M_s(T)$ [20], следует, что $\Delta E_M(T = 0 \text{ K}) \approx 0.16$ и 0.12 мэВ, а T_C лежит в пределах

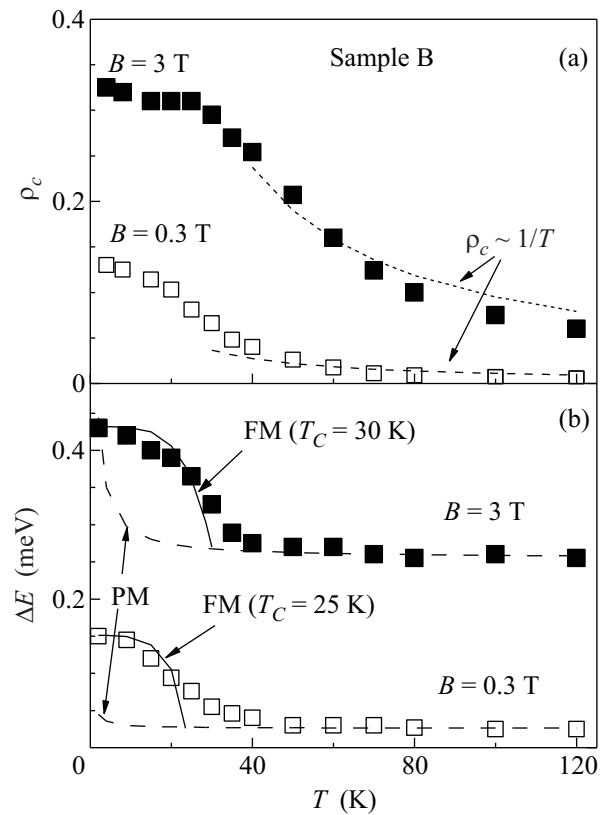


Рис.3. Зависимости степени циркулярной поляризации (а) и зеемановского расщепления (б) от температуры в образце В с δ - $\langle\text{Mn}\rangle$ -слоем в GaAs барьере для $B = 0.3$ и 3 Тл. Результаты экспериментальных измерений показаны символами. Штриховые кривые на рис.(а) показывают температурные зависимости $\rho_c = A/2kT$, ожидаемые для невырожденной системы электронов и дырок в КЯ. Штриховые и сплошные линии на рис.(б) показывают аппроксимационные кривые для $\Delta E(T)$, рассчитанные в предположениях парамагнитного (PM) и ферромагнитного (FM) состояний ионов (см. текст) в δ - $\langle\text{Mn}\rangle$ -слое, соответственно

29 ± 2 К и 25 ± 3 К при $B = 3$ и 0.3 Тл, соответственно. Величина T_C хорошо согласуется с температурой Кюри для Mn δ слоя $T_C \sim 30$ К. Так как величина обменного взаимодействия ионов Mn в GaAs с электронами намного меньше, чем с дырками ($|\alpha| \leq 0.2$ и $\beta \sim -(1.2\text{--}3)$ [21, 22]), то можно предположить, что основной вклад в ΔE_M вносит расщепление дырочных состояний в КЯ.

Температурные зависимости ρ_c в полях $B = 0.3$ и 3 Тл показаны на рис.3а. Отметим, что $\rho_c(T)$ отражает разницу поляризаций спинов дырок ($\rho_{c,h}$) и электронов ($\rho_{c,e}$) в КЯ так, как σ^- -переходы отвечают рекомбинации дырок в основном ($j_z = +3/2$) состоянии с электронами в возбужденном ($s_z = -1/2$) состоянии, а σ^+ -переходы, наоборот, рекомбинации

электронов в основном и дырок в возбужденном состоянии. Из рис.3 видно, что с уменьшением температуры ρ_c растет в области $T < 40$ К и выходит на насыщение при $T < 20$ К. В условиях небольшого зеемановского расщепления электронов и дырок с $\Delta E_{e(h)} < kT$ и теплового равновесия в спиновой системе невырожденных носителей заряда величина $\rho_c = \Delta E/2kT$ [23]. В области температур $T > 40$ К зеемановское расщепление не зависит от температуры. Аппроксимация экспериментальных зависимостей $\rho_c(T)$ при $B = 3$ и 0.3 Тл в этой области кривыми $A/2kT$, где $A = \text{const}$, показана на рис.3а. Кривые нормированы на экспериментальные значения ρ_c при $T = 60$ К. Рассчитанные кривые воспроизводят качественно измеренные зависимости $\rho_c(T)$, однако измеренная степень поляризации растет быстрее, чем $1/T$. Кроме того, найденные значения $A = 1.6$ мэВ при $B = 3$ Тл и 0.19 мэВ при $B = 0.3$ Тл примерно в 6 раз больше измеренных значений ΔE . Эти расхождения могут быть объяснены в предположении медленной спиновой релаксации в фотовозбужденной электронной системе. В этом случае $\rho_c(T)$ определяется степенью спиновой поляризации равновесных дырок в КЯ, $\rho_{c,h} = \Delta E_h/2kT$, то есть $\Delta E_h(3 \text{ Тл}) \sim A = 1.6$ мэВ, а отклонение зависимости $\rho_c(T)$ от $1/T$ связано с некоторым изменением (увеличением) скорости спиновой релаксации электронов с ростом температуры. Следует, однако, отметить, что полученные таким образом оценки ΔE_h в квазидвумерном газе дырок в InGaAs КЯ заметно больше найденных ранее расщеплений для дырок в экситонах в нелегированных КЯ и более характерны для дырок, сильно локализованных в квантовых точках [17].

Насыщение $\rho_c(T)$ при понижении температуры ниже 20 К свидетельствует о насыщении степени поляризации спинов дырок либо из-за нарушения теплового равновесия в дырочной системе, либо из-за их вырождения и локализации на флуктуациях потенциала при понижении температуры. Первое предположение можно исключить, поскольку плотность фотовозбужденных дырок на порядки меньше плотности равновесных дырок в КЯ $n_h > 10^{11} \text{ см}^{-2}$ [10, 13] вследствие легирования барьера КЯ углеродом и марганцем. В пользу второго предположения свидетельствует большая (~ 8 мэВ) полуширина линии излучения из КЯ при $T < 20$ К. Степень поляризации вырожденного газа дырок в КЯ равна $\Delta E_h/2E_{F,h}$. Флуктуации потенциала ведут к размытию плотности состояний на дне дырочной зоны, однако не меняют картину качественно. Для объяснения экспериментальных значений $\rho_c(2 \text{ К}) \approx 0.32$ в поле $B = 3$ Тл, при величине зеемановского расщеп-

ления $\Delta E_h \sim (A + \Delta E_M) \sim 1.8$ мэВ нужно положить, что $E_{F,h} \sim 3$ мэВ. Это значение хорошо согласуется с наблюдающимся в эксперименте переходом от “фермиевской” к “больцмановской” зависимости $\rho_c(T) \sim \Delta E/T$ в области $T \sim 30$ К.

Таким образом, в исследованиях зеемановского расщепления и степени циркулярной поляризации спектров излучения из нелегированных КЯ в InGaAs/GaAs гетероструктурах с ферромагнитным $\delta\text{-Mn}$ -слоем в GaAs барьере на расстоянии 3–5 нм найдено, что $s, p-d$ обменное взаимодействие носителей в КЯ с ионами Mn в δ -слое вызывает “ферромагнитное” поведение носителей, описывающееся температурой Кюри в $\delta\text{-Mn}$ -слое в GaAs барьере. Наблюданное насыщение степени поляризуемости спинов дырок ниже 15 К обусловлено их вырождением.

Авторы выражают благодарность Н.С. Аверкиеву и Д.В. Хомицкому за полезные дискуссии. Работа выполнена при поддержке грантов Российского фонда фундаментальных исследований (# 09-02-90711-моб-ст., # 09-02-00770, # 07-02-00486, # 08-02-97038 р-Поволжье), CRDF (BP4M01), Программы “Развитие научного потенциала высшей школы” (РНП 2.2.2.2/4297 и 2.1.1.3778) и Программы фундаментальных исследований Президиума РАН № 27 “Основы фундаментальных исследований нанотехнологий и наноматериалов”.

1. G. A. Prinz, Science **282**, 1660 (1998).
2. S. A. Wolf, D. D. Awschalom, R. A. Buhrman et al., Science **294**, 1488 (2001).
3. H. Ohno, D. Chiba, F. Matsukura et al., Nature **408**, 944 (2000).
4. A. Oiwa, Y. Mitsumori, R. Moriya et al., Phys. Rev. Lett. **88**, 137202 (2002).
5. H. X. Tang, R. K. Kawakami, D. D. Awschalom, and M. L. Roukes, Phys. Rev. Lett. **90**, 107201 (2003).
6. V. F. Sapega, M. Moreno, M. Ramsteiner et al., Phys. Rev. Lett. **94**, 137401 (2005).
7. M. Tanaka, J. Vac. Sci. Technol. B **16**, 2267 (1998).
8. V. F. Sapega, O. Brandt, M. Ramsteiner et al., Phys. Rev. B **75**, 113310 (2007).
9. A. M. Nazmul, T. Amemiya, Y. Shuto et al., Phys. Rev. Lett. **95**, 017201 (2005).
10. B. A. Aronzon, M. V. Kovalchuk, E. M. Pashaev et al., J. Phys. Condens. Matter **20**, 145207 (2008).
11. R. C. Myers, A. C. Gossard, and D. D. Awschalom, Phys. Rev. B **69**, 161305 (2004).
12. О. В. Вихрова, Ю. А. Данилов, Ю. Н. Дроздов и др., Поверхность. Рентген., синхротрон. и нейтрон. исследования **6**, 9 (2007).

13. О. В. Вихрова, Ю. А. Данилов, М. В. Дорохин и др., Письма в ЖТФ **35**, 8 (2009).
14. K. S. Burch, E. J. Singley, J. Stephens et al., Phys. Rev. B **71**, 125340 (2005).
15. G. Hendorfer and J. Schneider, Sem. Sci. Technol. **6**, 595 (1991).
16. Th. Wimbauer, K. Oettinger, Al. L. Efros et al., Phys. Rev. B **50**, 8889 (1994).
17. R. Kotlyar, T. L. Reinecke, M. Bayer, and A. Forchel, Phys. Rev. B **65**, 085310 (2001).
18. A. O. Govorov and A. V. Kalameitsev, Phys. Rev. B **71**, 035338 (2005).
19. M. Overby, A. Chernyshov, L. P. Rokhinson et al., Appl. Phys. Lett. **92**, 192501 (2008).
20. Дж. Смарт, Эффективное поле в теории ферромагнетизма, М.: Мир, 1968.
21. M. Poggio, R. C. Myers, N. P. Stern et al., Phys. Rev. B **72**, 235313 (2005); V. F. Sapega, T. Ruf, and M. Cardona, Phys. Status Solidi B **226**, 339 (2001).
22. J. Okabayashi, A. Kimura, O. Rader et al., Phys. Rev. B **58**, R4211 (1998).
23. Б. П. Захарченя, А. В. Кудинов, Ю. Г. Кусраев, Письма в ЖЭТФ **63**, 241 (1996).